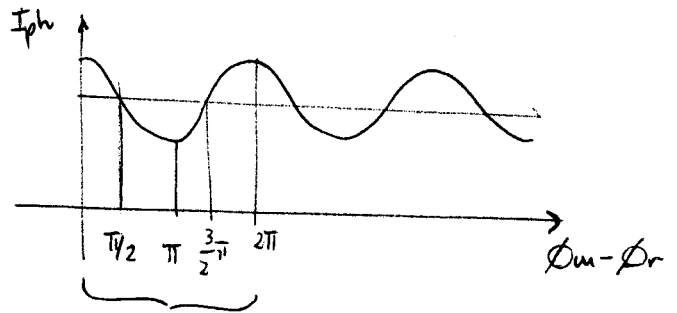
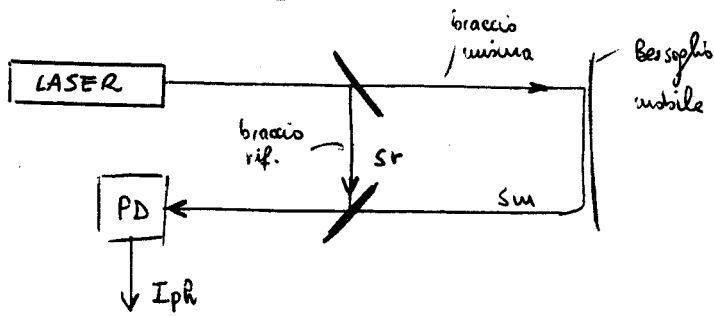


INTERFEROMETRICA



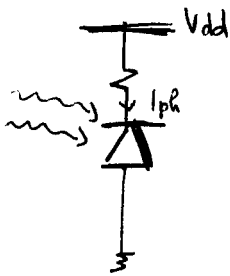
$$I_{ph} = \sigma |E_m + E_r|^2 = \sigma |E_m e^{i\phi_m} + E_r e^{i\phi_r}|^2 = \sigma (E_m^2 + E_r^2 + 2E_m E_r \text{Re}\{e^{i(\phi_m - \phi_r)}\}) = I_m + I_r + 2\sqrt{I_m I_r} \cos(\phi_m - \phi_r)$$

$$\left. \begin{aligned} \phi_r &= k s_r \\ \phi_m &= k s_m \end{aligned} \right\} \phi_m - \phi_r = \frac{2\pi}{\lambda} (s_m - s_r) \rightarrow \text{se } s_r \text{ cost.} \Rightarrow \Delta\phi = \frac{2\pi}{\lambda} \Delta s_m = 2\pi \Rightarrow \Delta s_m = \lambda$$

(risoluzione)

(He-Ne: $\frac{\Delta\lambda}{\lambda} = 10^{-8}$; per sc: $\frac{\Delta\lambda}{\lambda} \cong 10^{-6}$)

Regime quantico / termico di rivelazione



rumore:

$$\begin{cases} \sigma_{I_{ph}}^2 = 2q I_{ph} \cdot B \\ \sigma_{I_{buio}}^2 = 2q I_{buio} \cdot B \\ \sigma_R^2 = \frac{4KT B}{R_L} \end{cases}$$

• $\sigma_{I_{ph}}^2 \gg \sigma_{I_{buio}}^2 + \sigma_R^2$: REGIME QUANTICO

$$\left(\frac{S}{N}\right)^2 = \frac{I_{ph}^2}{2q I_{ph} \cdot B}$$

prestaz. dipendono da I_{ph} , non da circuito

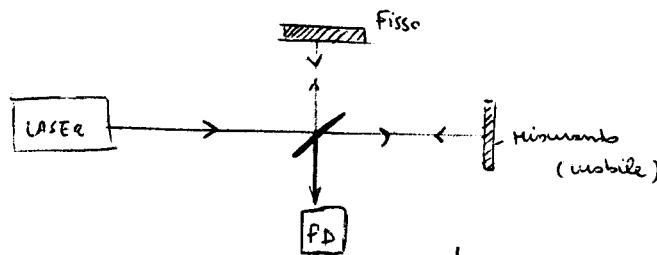
• $\sigma_{I_{ph}}^2 \ll \sigma_{I_{buio}}^2 + \sigma_R^2$: REGIME TERMICO

$$\left(\frac{S}{N}\right)^2 = \frac{I_{ph}^2}{(2q I_{buio} + \frac{4KT}{R_L}) B}$$

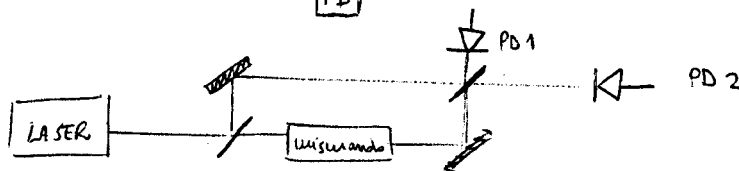
Proprietà OTODINA: posso sempre riportarmi al regime quantico, variando il campo di rifer.

Esempi di interferometri

• Michelson

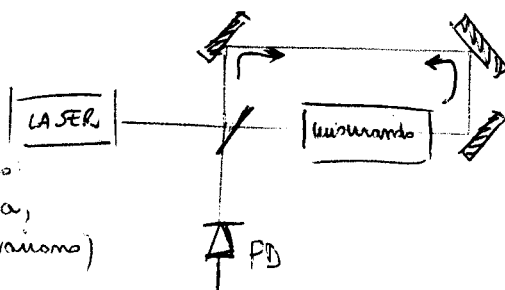


• Hoch Zehnder



• Sagnac

(usato nel giroscopio e per scopio ruota, e 2 freq. variabile)

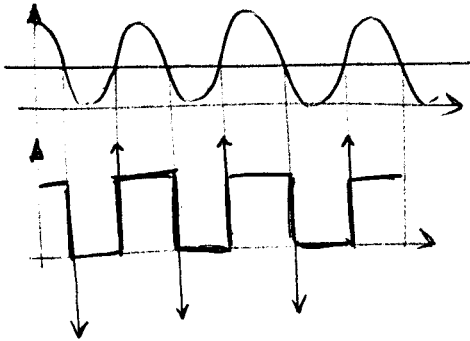


✓ Michelson (Responsivity = $\sigma = \frac{qe}{h\nu} = \frac{\lambda [\mu m]}{1,24} \approx 0,5 A/W$)

$I_{ph} = I_m + I_r + 2(I_m I_r)^{1/2} \cos(2K(s_m - s_r)) = I_0 [1 + \cos(2K(s_m - s_r))]$

($I_0 = 2I_m = 2I_r = \frac{1}{2} \sigma P_L$)

frangie interferometrica: $2K(s_m - s_r) = 2\pi \Rightarrow \Delta s_m = \frac{\lambda}{2}$

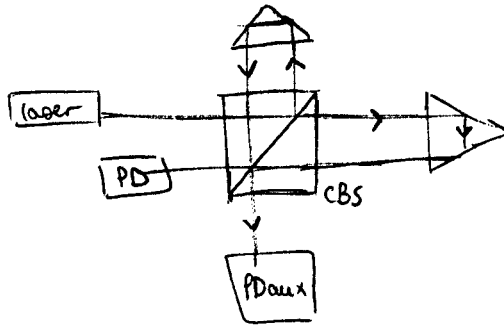


contare frange: conto le $\delta \uparrow \rightarrow (\lambda/2)$
 se conto le mezza frange $\rightarrow (\lambda/4)$
 (raddrizzatore: conto anche le $\delta \downarrow$) } riduzione

Problemi: - allineamento specchi

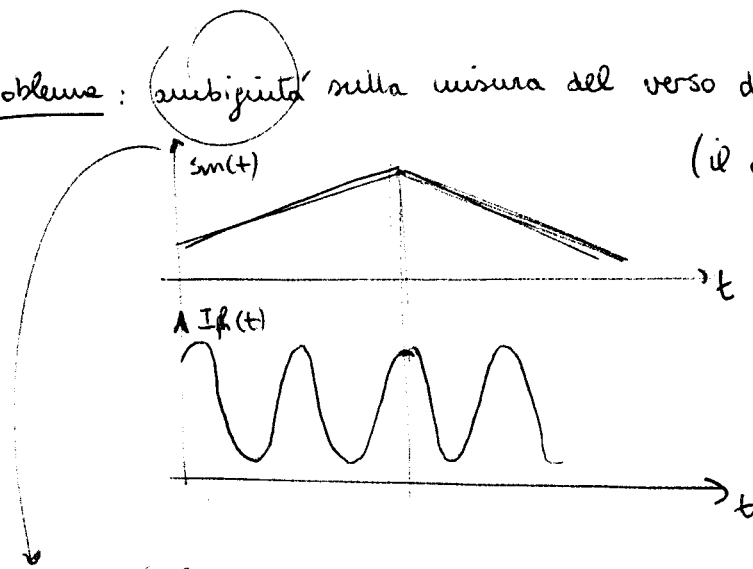
- beam splitter sottile! (difficile posizionamento)
- retro-riflessioni di luce nella cavità laser \rightarrow lo rende - monomodale !!

↓ soluzione: Twyman Green: (utilizza corner cube) \rightarrow insensibilità al disallineamento



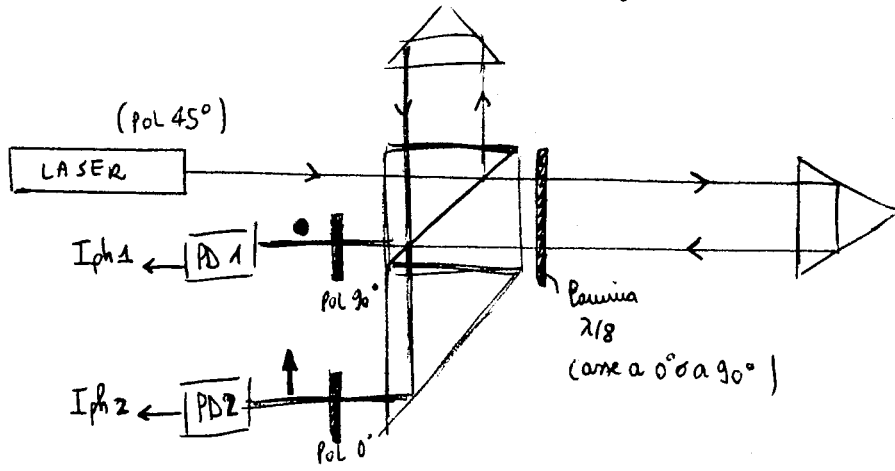
- no retro-riflessioni
- CBS + semplice da posizionare e - sensibile a vibraz.

• Problema: ambiguità nella misura del verso di spostamento del bersaglio (solo quando $\Delta s_m = K\pi$)
 (il coseno è pari!)



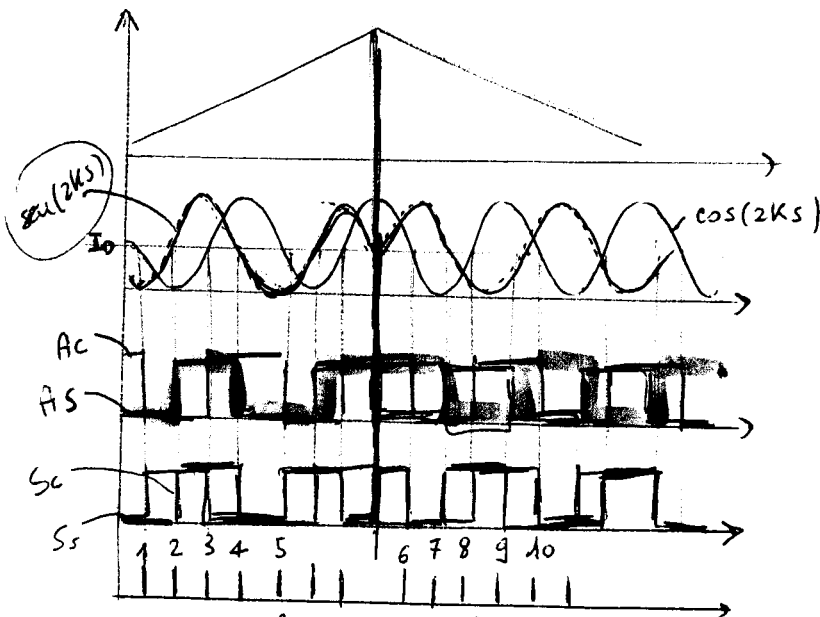
- Per risolverlo:
- DOPPIO FASCIO
 - DUE FREQUENZE

INTERFEROMETRO a DOPPIO FASCIO (2 segnali interferometrici in quadratura)



$$\begin{cases} I_{ph1} = I_m + I_r + 2\sqrt{I_m I_r} \cos(2K(s_m - s_r)) = I_0 \left[1 + \cos(2K(s_m - s_r)) \right] \\ I_{ph2} = I_m + I_r + 2\sqrt{I_m I_r} \cos\left(2K\left(s_m + \frac{\lambda}{8} - s_r\right)\right) = I_0 \left[1 - \sin(2K(s_m - s_r)) \right] \end{cases}$$

Elaborazione del segnale: i due segnali vengono inviati a discriminatore di ampiezza, con soglia I_0 e si ottengono A_c e A_s . Derivo entrambi (sin e cos) e ottengo S_c e S_s



	A_c	S_s	A_s	S_c
1	0	1	0	0
2	0	1	1	1
3	1	0	1	1
4	1	0	0	0
5	0	1	0	0
6	0	0	1	0
7	0	0	0	1
8	1	1	0	1
9	1	1	1	0
10	0	0	1	0

⇒ riesco a distinguere il verso del moto!

impulsi di conteggio: ora in una prompia ci sono 4 conteggi: riduzione: $\lambda/8$

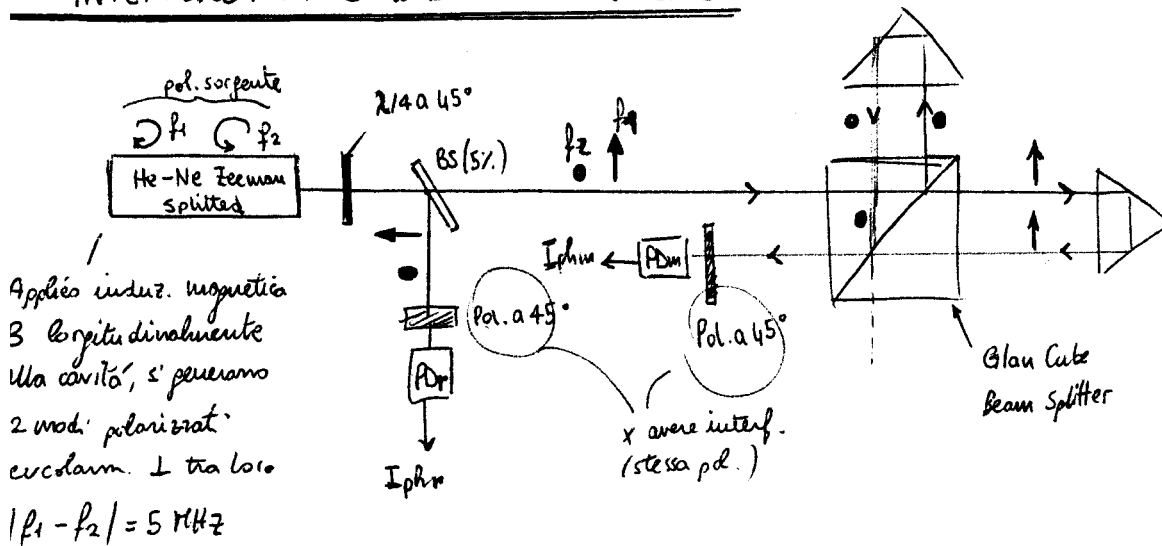
$$(U = A_s \oplus S_c + A_c \oplus S_s = 1: \text{"UP"} \\ 0: \text{"DOWN"})$$

- Funziona piuttosto bene in campo vicino (distanze fino a 1m, con risoluz. ≈ 80 nm)
- Non posso lavorare in continua \Rightarrow quando derivo analiticamente uso un passo alto.
- Lo strumento fa una misura in banda base. Quindi: ci può essere rumore dato da vibraz. op. oia, dist. (disturbi E.M.)
- Limite alle freq. elettronica \Rightarrow limite su velocità spostamento bersaglio:

$$B_{MAX} = B_{EL} \Rightarrow \Delta t_{stim} = \frac{1}{B_{EL}} \Rightarrow v_{MAX} = \frac{\lambda}{8} B_{EL} \quad (\text{se } B_{EL} = 10 \text{ MHz} \rightarrow v_{MAX} = 0,8 \text{ m/s})$$

• Misura incrementale \rightarrow dev'essere attento a non interrompere i fasci!

INTERFEROMETRO a DUE FREQUENZE



Applic. induz. magnetica
 3 longitudinalmente
 alla cavità, si generano
 2 mod. polarizzati
 circolari ⊥ tra loro
 $|f_1 - f_2| = 5 \text{ MHz}$

(FDM) [segnale non + in banda base, ma intorno a 5 MHz] [su PDR ho oscillazione a 5 MHz]
 ⇒ non ho + il problema del doppio fascio e non ho + il problema di calcolare I_0

$$I_{phR} = \frac{5}{100} I_0 \left\{ 1 + \cos \left[2\pi (f_1 + f_2)t + \varphi \right] \right\} \quad ; \quad \left(I_0 = \frac{1}{2} \sigma P_L, (P_L = 2P_1 = 2P_2) \right)$$

$$I_{phM} = \frac{95}{100} I_0 \left\{ 1 + \cos \left[2\pi (f_1 - f_2)t + 2Ks_m - 2Ks_r + \varphi \right] \right\}$$

Tecniche per recuperare fase φ :

→ Mixing analogico tra I_{phR} e I_{phM} (somma e diff) + filtraggio passa basso per ottenere $\cos(2K(s_m - s_r))$ e
 ⇒ INTERF. a doppio fascio (dopo avere riflettuto I_{phR} da $\pi/2$) ← $\sin(2K(s_m - s_r))$

→ Hepler: conteggio DIGITALE degli attraversamenti di 0 dei segnali
 I_{phR} e I_{phM} e loro sottrazione.

al contatore integra, cioè conta i periodi (risoluz: $\frac{\lambda}{2}$) che sono ≠ tra Rif e Mir .

T: tempo di misura. $C_R = \int_{(0,T)} (f_1 - f_2) dt = (f_1 - f_2) T$

$C_M = \int_{(0,T)} \left[(f_1 - f_2) + \frac{2K}{2\pi} \frac{ds_m}{dt} \right] dt = (f_1 - f_2) T + \frac{2 \Delta s_m}{\lambda}$

$S = C_M - C_R = \frac{2 \Delta s_m}{\lambda}$ (spostamento complessivo nell'intervallo T)

$\Delta s_m = N_{conteggi} \cdot \frac{\lambda}{2}$

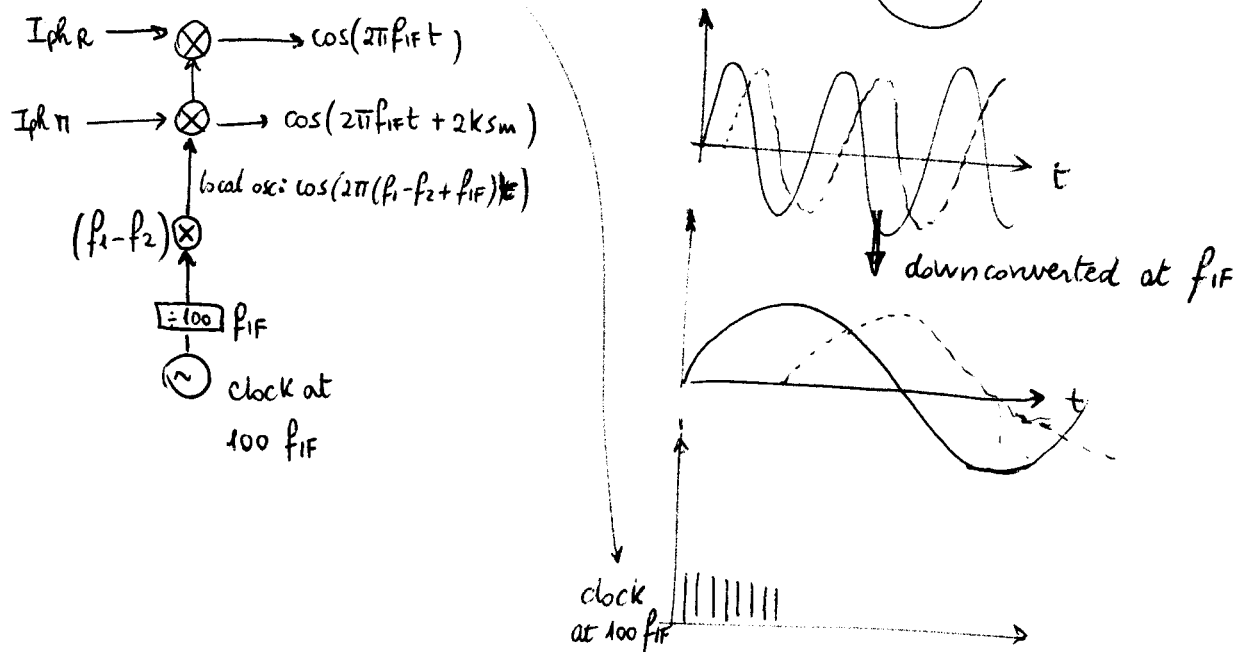
$\Delta s_m = N_{conteggi} \cdot \frac{\lambda}{4}$ → risoluz. & conta anche i semiperiodi (il doppio fascio arrivano a $\lambda/8$)

⇒ Anche se elettronica è la stessa di prima, non posso sfruttarla appieno qui! Perché devo stare intorno a 5 MHz. $v_{max} = \frac{\lambda}{4} \cdot B = 0,3 \text{ m/s}$ (con $B = 1 \text{ MHz}$)

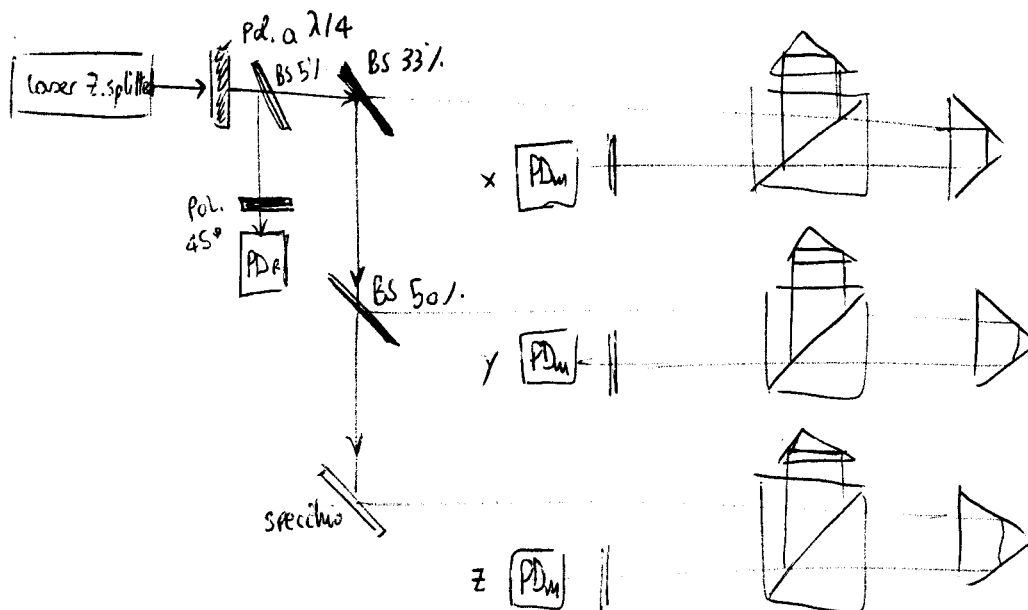
Vantaggi dell' IATF, a 2 FREQ.

- Soglia di discriminazione può essere posta a zero (posso eliminare DC di I_{phR} e $I_{ph\pi}$)
- Protezione ai disturbi E.M. e migliore a 5 MHz.
- Facilità di riconoscere interruzione fascio misura (Rif a 5 MHz sempre; Km diventa continuo)
- Aumento risoluzione se faccio mixing elettrico dei segnali I_{phR} e $I_{ph\pi}$ con osc. locale $f_{LO} = (f_1 - f_2) - f_{IF}$ con $f_{IF} = 10 - 100$ KHz.

Posso effettuare misura fase ad alta risoluz. su segnale a f_{IF} .
 Suddividendo angolo 2π in 100 intervalli \Rightarrow risoluzione $\lambda/200$.



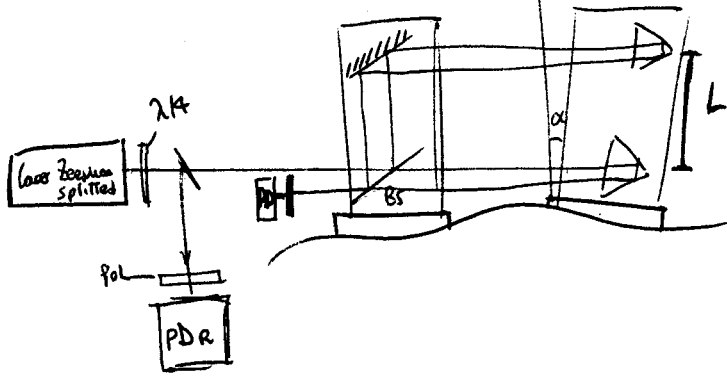
Estensione x misure su 3 assi' riferimento



Misura di planarità \Rightarrow (Nack Zehnder)

errore di angolo $\alpha \rightarrow$ varia. cammino ottico $2\alpha L$.

$$\Delta s = \frac{\lambda}{2} \Rightarrow \Delta \alpha = \frac{\lambda}{4L}$$

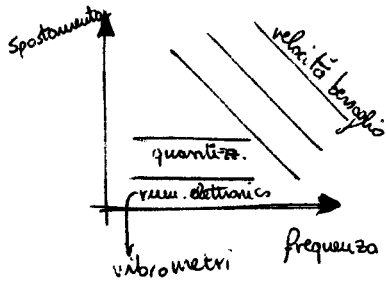


Misura di angolo retto (vedi schema su slide) $\left\{ \begin{array}{l} \text{risoluzione} = \text{a quella di planarità} \\ \text{precisione influenzata dall'errore dell'angolo diedro del pentaprisma} \end{array} \right.$



LIMITAZIONI PRESTAZIONI INTERFEROMETRO

Limitazioni nel piano spostamento-frequenza



(vedi slide)

limitazione a basse frequenze è più rilevante per lo schema a doppio fascio.

Errore del coseno:
$$I_{ph} = I_0 \left\{ 1 + V \cos [2K(sm - sr)] \right\}$$

- il cammino effettivamente misurato è $K \cdot sm \cdot \cos \alpha$; α : angolo dovuto a errore allineamento
- errore sistematico su rispondenza interferometro

Coerenza temporale e visibilità frange

τ_c : tempo coerenza: valor medio dell'intervallo temporale tra 2 salti di fase consecutivi (ho salti di fase xke spettro $\neq \delta$)

$$\begin{cases} \rightarrow L_c \approx c \cdot \tau_c \approx \lambda^2 / \Delta\lambda \\ \rightarrow \Delta\nu = \frac{1}{\pi \tau_c} \end{cases}$$

A diagram showing a spectral line with a width labeled $\Delta\nu$. The line is represented as a bell-shaped curve on a frequency axis.

- HeNe $L_c = 300 \text{ m}$
- SC (buono) $L_c = 30 \text{ m}$
- SC (seorso) $L_c = 1,5 \text{ m}$

\Rightarrow se $|sm - sr| \gg L_c$: non ho segnale interferometrico ma solo rumore.

V : VISIBILITÀ FRANGE ($0 < V < 1$): se laser a singolo modo long., con long. ripa Lorentziana,

- $V = \exp[-(\Delta L / L_c)]$, $\Delta L = |sm - sr|$
- definizione operativa: $V = \frac{I_{MAX} - I_{MIN}}{I_{MAX} + I_{MIN}}$

\Rightarrow se $|sm - sr| < L_c$: unione interf. possibili; ma con rumore di fase e una conseguente limitazione sul minimo spostamento rilevabile.

NED (noise equivalent displacement)

$\rightarrow \Delta\nu$ non nulla $\Rightarrow v(t) = v_0 + \Delta v(t)$

$\rightarrow \phi(t) = 2K(sm - sr) = \frac{4\pi v}{c} (sm - sr) = \frac{4\pi}{c} (sm - sr)(v_0 + \Delta v(t)) = \phi_0 + \Delta\phi(t)$

fase interferometrica

\rightarrow rumore fase: $\Delta\phi = \frac{4\pi}{c} (sm - sr) \cdot \Delta v = \frac{4\pi}{c} (sm - sr) \frac{\Delta v}{v_0}$

$L_c = \dots \rightarrow \text{NED} = \dots$

Rumore quantico

- Un interferometro riesce a misurare varia. di cammino ottico $\ll \lambda$ se riesce a apprezzare il segnale a HEZRA FRANGIA (pto lavoro MAX sensibilità). In queste condiz., il segnale $\propto \sin$.
- Il + piccolo spostamento misurabile dipende da rumore sovrapposto a fotocorrente (NED quantico), se non considero NED di fase.
- Ogni interf. laser è equivalente a sistema rivelaz. coerente OTODINA → ottima proprietà di lavorare al LIMITE QUANTICO DI RIVELAZIONE

• Chiedo fotodiodo su resistenza R, rumore vale:

$$i_n^2 = 2q(I_{ph} + I_b)B + \frac{4kTB}{R} \approx 2qI_{ph}B, \quad I_{ph} = I_0 \left\{ 1 + V \cos[2k(s_m - s_r)] \right\}$$

$$\left(\frac{S}{N}\right)^2 = \frac{I_s^2}{I_n^2} = \frac{(I_0 V 2k s_m)^2}{2qI_0 B}$$

$$I_s = I_0 V \cdot 2k s_m \text{ (in condiz. max sensibilità)}$$

• NED quantico $\Rightarrow \left(\frac{S}{N}\right)^2 = 1 \Rightarrow NED = \frac{\lambda}{2\pi V} \sqrt{\frac{qB}{2I_0}} = \frac{\lambda}{2\pi V} \sqrt{\frac{h\nu \cdot B}{2\eta P}}$

• rumore fase quantico equivalente: $\phi_n = 2k NED = V \sqrt{\frac{2h\nu B}{\eta P}}$

Confronto NED di fase / NED quantico \Rightarrow è sempre il rumore di fase a limitare la sensibilità dell'interferometro, a meno di operare con $s_m = s_r$
 \hookrightarrow interf. bilanciato

Coerenza spaziale ed effetti di polarizzazione

* è necessario che distribuz. trasversale di E_m e E_r sia la stessa.

μ_{sp} : fattore coerenza spaziale = $\frac{\int_A E_m(x,y) E_r^*(x,y) dx dy}{\sqrt{\int_A |E_m(x,y)|^2 dx dy} \sqrt{\int_A |E_r(x,y)|^2 dx dy}} \approx 1$ idealmente

(se fasci multi-modali (N mod)) $\mu_{sp} \leq 1/N$

* necessario che E_m e E_r abbiano la stessa polarizzazione

$$\mu_{pol} = \frac{\vec{E}_m \cdot \vec{E}_r}{|\vec{E}_m| \cdot |\vec{E}_r|}$$

$$V = (\mu_{sp} \cdot \mu_{pol}) \exp(-\Delta L/L_c)$$

DISPERSIONE DEL MEZZO

interferometro laser effettua conteggi in udum: λ/n_{air} .

$\frac{\Delta\lambda}{\lambda} = \frac{\Delta n}{n} = 10^{-8}$ (con He-Ne stabilizzate)

$n_{air} = 1,000280$ (@ $\lambda = 632,8 \text{ nm}$) \rightarrow poi varia con T, P. $\left(\begin{array}{l} \Delta T = 10^\circ \text{C} \rightarrow \text{influenza su } 5^\circ \text{ cifra decimale} \\ \Delta P = 10 \text{ mbars} \rightarrow 6^\circ \end{array} \right)$ della misura di fase

\Rightarrow Per avere precisione migliore di 10^{-6} occorrono sensori di T e P per effettuare dovute correzioni al fattore di scala dell'interferometro.

Errori dovuti a speckle-pattern (caso in cui bersaglio non cooperativo)

Luce sorgente ad elevata coerenza temporale su superficie diffondente \Rightarrow luce retrodiffusa ha una struttura granulare: caratteristica che prende il nome di speckle-pattern.

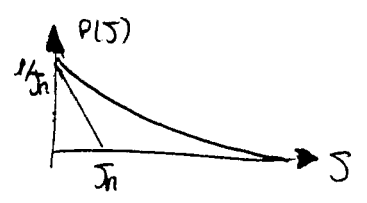
SPECKLE-PATTERN: campo irraggiato in un semispazio da diffusore illuminato con luce coerente

- superficie diffondente: $\Delta z \gg \lambda$

-  da P a P+ ΔP il campo perde correlazione

- il contorno spaziale di 1 speckle si definisce includendo tutta la regione di spazio in cui la correlazione del campo rispetto a quella del punto P è $> 0,5$.

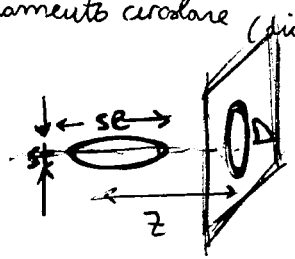
$P(I) = \frac{1}{I_{\pi}} \exp(-I/I_{\pi})$, con I_{π} valor medio intensità speckles



$P(I < I_{\pi}) = \int_0^{I_{\pi}} P(I) dI = 1 - e^{-1} = 63,2\%$ \Rightarrow la presenza di speckle poco intensa è ben più probabile della presenza di speckle brillanti. \Rightarrow problema: **FADING**

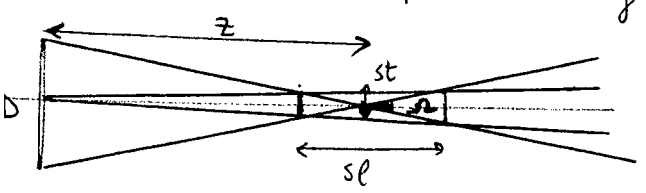
Dimensioni: x diffusore con macchia illuminamento circolare (diametro D)

$s_l = \frac{\lambda z}{D}$
 $s_l = \lambda \left(\frac{2z}{D} \right)^2$ ($s_l \gg s_t$)



Dimostrazione

Ciascuno speckle corrisponde a una regione spaziale a singolo modo, con accettabilità $a = A \Omega = \lambda^2$.



$a = \text{Area} \cdot \text{Angolo Solido} = A \Omega$

$\Omega = \pi \left(\frac{D}{2z} \right)^2$

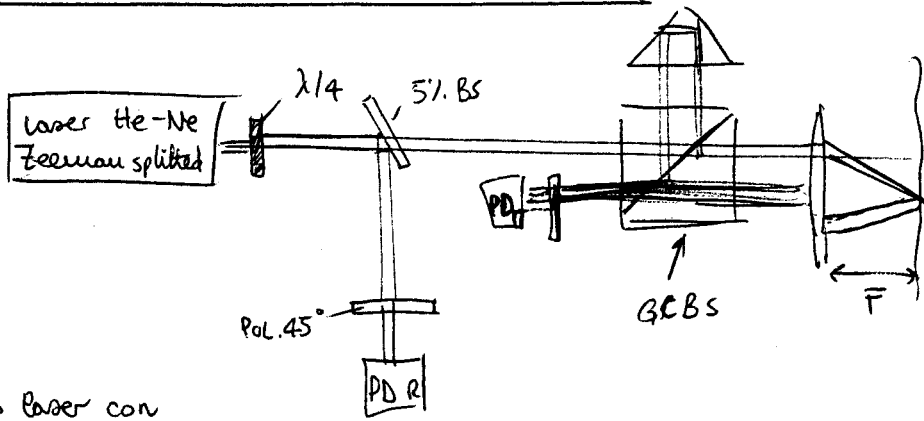
$A = \pi \left(\frac{s_l}{2} \right)^2$

$\lambda^2 = \pi^2 \frac{D^2}{4} \cdot \frac{s_l^2}{4} \Rightarrow s_l^2 = \frac{16 \lambda^2 z^2}{\pi^2 D^2} \Rightarrow s_l = \frac{4}{\pi} \left(\frac{\lambda z}{D} \right)$

il fascio di raggi che sottende Ω si mantiene + piccolo di s_t per dimsn log. = s_l/s_t , con $\theta = \frac{D}{2z} \Rightarrow s_l = \frac{2\theta}{\pi} \lambda \left(\frac{2z}{D} \right)^2$

[Dimsn Speckle e potenza medie, esempio]

INTERFEROMETRIA a SPECKLE-PATTERN



- Fascio laser con
semplicità $\lambda/4$

lente di misura: focale F e diametro D

sup. diffondente posta nel piano focale

$$NED_{sp} \approx \lambda \frac{DS}{SE}$$

⇒ Effetto di intensità: il segnale di misura potrebbe corrispondere a speckle poco intenso:
 fading del segnale interferometrico

Rimedi:
- migliore focalizzazione (D piccolo) per avere speckle di diametro maggiori
 $SE \propto 1/D$ ed in numero minore

- duplicazione sensore (sensor diversity)

- traslare trasversalmente il punto di misura sul bersaglio \times cambiare distribuzione speckles ("bright speckle tracking")

⇒ Effetto di fase: all'interno di ciascuno speckle si ha errore fase ($\leq 2\pi$...)

⇒ Conseguenza generale

• Non è possibile misurare con accuratezza spostamenti
ampi del bersaglio.

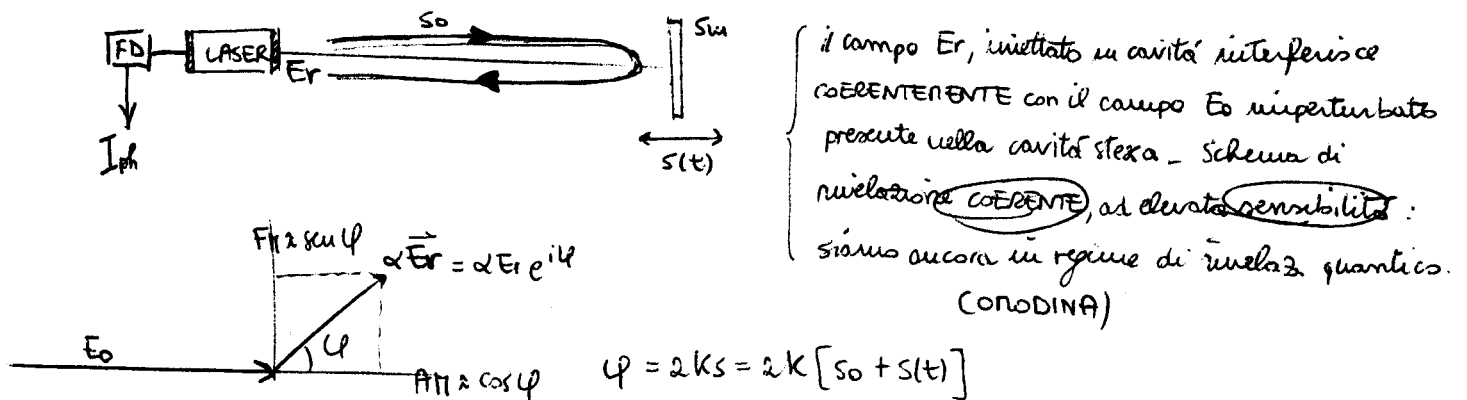
• Ci si deve limitare a piccole escursioni di S_m (\rightarrow vibrometrie)

INTERFEROMETRIA 4

SCHEMI DI LETTURA DEL SEGNALE INTERFEROMETRICO

- Config. esterna:
 - e' la + usata;
 - interferometro esterno a cavità laser
 - lettura del cammino ottico attraverso l'intensità $I = I_0 \cos(2ks)$
- Config. esterna:
 - interferometro all'interno della cavità laser
 - oscillazione biomodale
 - Modo 1 sostenuto dalla cavità di riferimento (S_1)
 - Modo 2 sostenuto dalla cavità di misura (S_2): lo spostamento dello specchio S_2 cambia la freq. del modo 2.
 - sui fotodiodi si ha battimento tra modo 1 e 2 \Rightarrow segnale a freq: $\Delta f = \frac{c}{2L} \frac{\Delta s}{\lambda/2}$
 - $I = I_0 \cos(2\pi \Delta f t)$: la lettura del cammino ottico $\phi = 2ks$ avviene attraverso la frequenza
 - Ho limite max su spostamento ($s_{max} = \lambda/2$) evitare ambiguità, una buona elevata responsività / sensibilità: $R_f = \frac{\Delta f}{\Delta s} = \frac{c}{\lambda l} = 2,4 \text{ MHz/nm}$ ($L=20 \mu m$)

SCHEMA A RETROINIEZIONE (o modulazione iniezione o self mixing)



il campo E_r , iniettato in cavità interferisce COERENTEMENTE con il campo E_0 inalterato presente nella cavità stessa - Schema di rivelazione COERENTE, ad elevata sensibilità: siamo ancora in regime di rivelazione quantica. (CORODINA)

il campo elettrico emesso dalla sorgente risulta modulato sia in freq. (F_m) che in ampiezza (A_m).

$$I_{ph} = I_0 (1 + M A_m) \cos[(1 + M F_m) \omega t] , \quad M A_m = A \cos(2ks)$$

$$M F_m = B \sin(2ks)$$

con 2 canal' di misura in quadratura sovrapposti alla stessa portante ottica, posso riconoscere verso spostamento senza ambiguità (che averso anche nel doppio fascio)

RETROINIEZIONE CON He-Ne, Zeeman (campo \vec{B} TRASVERSALE, $\rho \neq 0$ che nel 2 freq)

• sul fotorelevatore si ottiene battimento tra i 2 modi (con Pol. @ 45°)

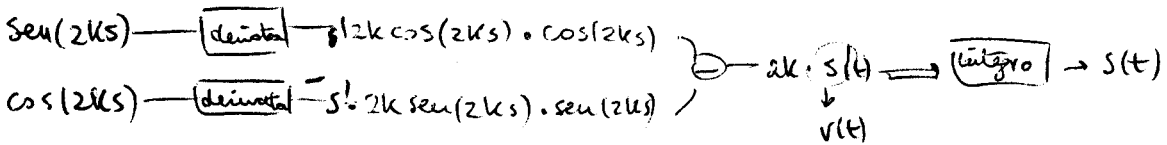
$$I_{ph} = I_0 (1 + u \cos [2\tilde{\omega} (V_1 - V_2)t + u \omega t]), \text{ portante @ } f_1 - f_2 (100 \text{ KHz})$$

• (altoparlante e differenziale \rightarrow specille pattern \rightarrow max escursione legata a 5ϵ)

antichi usano rivelazione digitale ($\lambda 18$ risoluç), meglio analoga \circledast armonia nella NES

(NB) V_2 che viene rimandato indietro, viene modulata la sua ampiezza e ~~freq~~ frequenza dal cammino ottico $2Ks$ (x effetto retroiniezione)

V_1 , bloccato dal polarizzatore, costituisce il braccio di riferimento



RETROINIEZIONE CON LASER a (SC) \rightarrow sorgente compatta, poco costosa, efficiente.

- Devo usare ottica x trasformare da ellittico a circolare
- Uso attenuatore x non re-iniettare troppa luce
- Non e' possibile forzarlo su 2 modi come He-Ne Zeeman.
- Non ha sufficiente stabilita' in freq. x effettuare rivelaz. ~~standard~~ \Rightarrow il termine $F(t)$ di I_{ph} non puo' essere estratto. \Rightarrow possibile ambiguita' sul segno della fase $2K [s_0 + s(t)]$

\Rightarrow EQUAZIONI di LANG & KOBAYASHI: aggiungo dei termini alle rate eq. dovuti a retroiniezione

$$\begin{cases} \xi = \text{parametro retroiniezione} & (\omega_0 \tau = 2Ks_0) \\ \tau = \frac{2s_0}{c} \text{ round trip esterno} \end{cases}$$

$$\Rightarrow I_{ph} = I_0 [1 + u F(2Ks)]$$

$F(2Ks)$ dipende

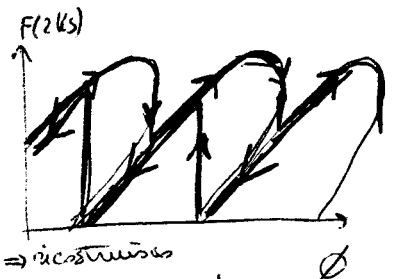
da ξ attraverso parametro $C = \xi \frac{S_0 \sqrt{1 + \alpha^2}}{P_{in}}$ e quindi dai parametri laser

- distanza bersaglio
- riflettività bersaglio

$C > 1$ si ottiene facilmente con bersaglio cooperativo

- u : profondita' modulaz. ampiezza
- $F = F(2Ks)$: funzione di periodicita' $2\tilde{\omega}$ e assume valori -1 e 1 (per He-Ne Zeeman $F = \cos(2Ks)$).
- (per SC: dipende da quanto luce entra in cavitaa')

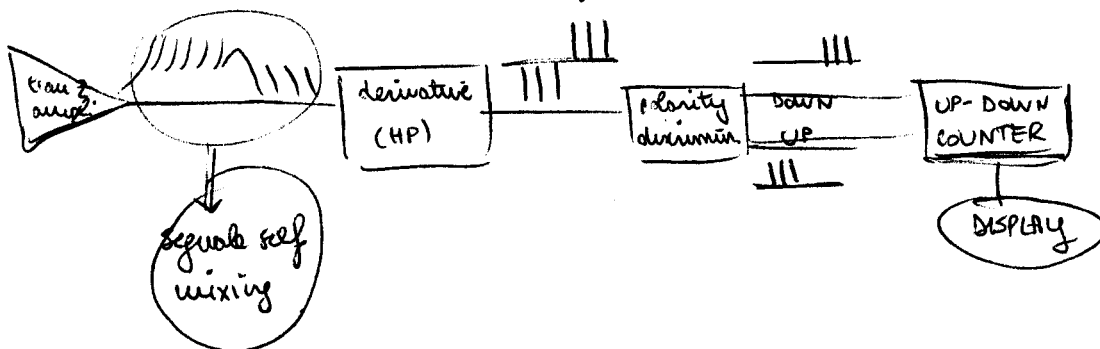
- $0 < C \leq 0,1$ RETROINIEZ. MOLTO DEBOLE
- $0,1 < C \leq 1$ DEBOLE
- $1 < C \leq 4,6$ MODERATA \rightarrow
- $C > 4,6$ FORTE



- ξ in pratica corrisponde a spostamento di $\lambda/2$

cerco a rivelazione all'oscillazione di un recordo segnale interf. \Rightarrow ricostruisco

Schema realizzativo elettronica di conteggio (digitale)



Prestazioni : • risoluz. $\frac{\lambda}{2} = 335 \text{ nm}$ (con laser F-P @ 670 nm)

- velocità max bersaglio: 0,335 m/s (ipotizzando di voler individuare 10^6 frange $\Rightarrow B$)
- precisione $\begin{cases} 10^{-4} \text{ (laser F-P)} \\ 10^{-5} \div 10^{-6} \text{ (laser DFB stabilizzato)} \end{cases}$

■ VANTAGGI RETROINIEZ SC.

semplice, compatto, poco costoso
 segnale presente ovunque nel fascio
 ok anche x bersagli diffondenti
 allineamento non critico
 banda di misura accettabile (MHz)
 prestaz simili ai comuni interferom.

■ SVANTAGGI

- minor stabilità a emissione \Rightarrow precisione
- necessità controllo laser in T
- alimentatori laser con limitata ondulaz corrente per

\Rightarrow SE BERSAGLIO È FERRO? $s = s_0 + s(t) \Rightarrow$ riesco a misurare la dist. assoluta s_0 ?

(NB) se modulo laser in corrente (corrente pompa) posso controllare potenza ottica emessa e posso anche modulare la λ emissione!

$$\lambda(I_{\text{bias}}) = \lambda_0 + \frac{\partial \lambda}{\partial I} \Delta I_{\text{bias}}(t) \quad (\text{lineare a tratti} \Rightarrow \Delta I_b \Rightarrow \Delta \lambda)$$

$$\phi = 2k s_0 = \frac{4\pi}{\lambda} s_0 \Rightarrow \Delta \phi = - \frac{4\pi}{\lambda^2} \Delta \lambda(t) s_0$$

se $\Delta \lambda(t)$ è sufficientem elevato e modulaz. φ periodica \Rightarrow vedo frange interferometriche ogni $2\pi \Rightarrow$ posso uscire a s_0 !

$$\left| \frac{\Delta \phi}{2\pi} \right| = N_{\text{FRANGE}} = \frac{4\pi}{2\pi} \frac{\Delta \lambda(t)}{\lambda^2} s_0 \Rightarrow s_0 = N_{\text{FRANGE}} \frac{\lambda_0^2}{2 \Delta \lambda(t)}$$

\downarrow
 Δs_0 : RISOLUZIONE

